

ПРОЦЕСС РАЗВИТИЯ МАКСИМАЛЬНОГО  
ДАВЛЕНИЯ РАСПИРАНИЯ ПРИ  
КОКСОВАНИИ УГЛЕЙ. СООБЩЕНИЕ  
ВТОРОЕ. ПЛАСТОМЕТРИЧЕСКИЕ  
ИССЛЕДОВАНИЯ

© 2010 Кузниченко В.М. к.т.н.,  
Сытник А.В. (УХЛН)

*В статье приведены результаты исследования динамики газового давления по ширине пластического слоя различных углей, определены барьеры для прохода газов коксования из пластического слоя на «холодную» и «горячую» его стороны. Показаны зависимости величины максимального газового давления в пластическом слое по мере удаления его от греющей стенки печи.*

*In the article the results of research for dynamics of gas pressure are given on the width of plastic layer of different coals, barriers are stated to the passage-way of coking gases from a plastic layer on «cold» and «hot» sides. Dependences of maximal gas pressure are shown in a plastic layer as far as its moving away from heating wall of stove.*

Ключевые слова: уголь, пластический слой, вспененная зона, газовое давление, массоперенос, препарирование, твердый остаток, физико-механические свойства.

Известно, что при коксовании большинства спекающихся углей в пластическом слое образуется вспененная зона, кажущаяся плотность которой наименьшая по сравнению с исходной угольной загрузкой и полуоком-коксом [1, 2]. Объяснить уменьшение кажущейся плотности бурным газовыделением в этой зоне и ее расширением в результате вспучивания невозможно. Если бы это было так, то жирные угли, характеризующиеся наибольшей шириной вспененной зоны [2], должны бы развивать и наибольшее давление распиравия. Однако, например, коксовые угли, у которых вспененная зона значительно меньше, развиваюят давление распиравия в несколько раз большее, чем жирные [3, 4]. Очевидно, снижение кажущейся плотности во вспененной зоне связано с существенным массопереносом как пластической массы, так и парогазообразных продуктов коксования на «горячую» сторону пластического слоя. Ю.С. Васильевым с использованием метода рентгенографии показано, что вязкотекучая

пластическая масса, включая содержащие в ней инертные компоненты углей и минеральные примеси, перемешавшись в пластическом слое уплотняется на поверхности образующихся слоев полукокса [5]. При коксовании углей различных марок М.Г.Скляр с соавторами [6] наблюдали «резкое скачкообразное смешение массы на горячую сторону» у углей марок Ж и К. При этом смешение нелетучей массы в пластическом слое угля марки Ж составило 9 мм, а марки К – 3,5 мм. Это смешение авторы объясняют воздействием набухания угольных зерен. Однако зона набухших угольных зерен наблюдается у всех углей, в том числе и слабо спекающихся. Поэтому массоперенос в направлении против теплового потока в таком случае должен был иметь место при коксовании всех более или менее спекающихся углей. Однако он наблюдается только у тех углей, которые образуют вспененную зону.

По нашему мнению причиной массопереноса является поверхностное напряжение ячеисто-пленочной системы вязкотекущей пластической массы вспененной зоны, действующее в направлении «горячей» стороны пластического слоя. Вновь образующиеся ячеисто-пленочные слои пластической массы сразу же оказываются под воздействием сил поверхностного напряжения и перемешиваются в направлении полукокса. В результате этого материал вспененной зоны находится в растянутом состоянии, что и является основной причиной низкой кажущейся плотности в этой зоне. Базируясь на таком механизме массопереноса в пластическом слое, процесс нарастания полукокса – материала с резко отличающейся (более высокой) кажущейся плотностью, можно представить следующим образом. Непрерывно притягивающиеся к поверхности твердеющего остатка на «горячей» стороне пластического слоя пленки пластической массы, пронизанные порами, уплотняются давлением парогазовых продуктов пластического слоя и под действием

температуры отверждаются, образуя новые слои так называемого первичного полукокса.

Для выявления, в какой степени вновь образующиеся слои первичного полукокса могут быть барьером для прохода газов загрузки из пластического слоя, нами были поставлены специальные исследования с использованием печи для определения давления расширения углей в процессе коксования [7]. Были проведены измерения газового давления, температуры, ширины пластического слоя и ширины слоя полукокса-кокса. Для этого в стальной реторте печи были просверлены отверстия для прохода в угольную загрузку зонда для замера газового давления, чехла термопары и пластометрической иглы. Несколько большие отверстия напротив указанных были выполнены в изоляционной и оgneупорной кладке печи. С этой стороны нагрев печи был отключен, т.е. коксования проводились при одностороннем нагреве угольной загрузки. Измерение ширины пластического слоя и слоя полукокса-кокса проводились пластометром, применяемым для замера пластометрических показателей по ГОСТ 1186–87. В связи с тем, что ширина угольной загрузки составила 90 мм, стальную иглу пластометра стандартной длины 55 мм заменили на более длинную – 85 мм того же диаметра (1 мм). Замер газового давления и температуры в коксовой загрузке проводили по разработанной нами методике [2].

Для исследований были использованы донецкие угли различных марок, характеристика которых представлена в табл. 1.

Динамика газового давления в пластическом слое указанных углей при ширине слоя полукокса-кокса 40 мм представлена на рис. 1.

Обшим в динамике внутрипластического газового давления является то, что заметный его подъем начинается после прохождения «холодной» границы пластического слоя относительно торца зонда на 2-3 мм. Невысокое давление на этом узком участке – 0,5-1,0 кПа у углей марок Г и ОС и 1-2 кПа у углей марок Ж и К можно объяснить

небольшой интенсивностью выделения летучих веществ в начале пластического состояния и относительно беспрепятственным их прохождением из наружного слоя в исходную угольную загрузку. В то же время

этот участок является достаточно газоплотным, т.к. не позволяет свободно проникать в него газам из участков пластического слоя с более высоким газовым давлением.

Таблица 1

## Характеристика исследуемых углей

Уголь (марка, ЦОФ)	Показатели технического анализа, %			Показатели пластометрического анализа по ГОСТ 1186-87, мм	
	A <sup>d</sup>	S <sub>t</sub> <sup>d</sup>	V <sup>d</sup>	x	y
Г, Добропольская	7,8	1,56	35,1	44	11
Ж, Самсоновская	7,6	2,24	31,9	16	22
К, Пролетарская	7,9	1,76	21,8	27	18
ОС, Узловская	8,0	2,09	19,6	23	8

Максимум газового давления у различных углей различен по величине – наибольший он у коксового угля. Угли марок Г и ОС характеризуются наименьшим значением максимума газового давления. Время существования максимума газового давления наибольшее у жирного угля – на протяжении почти всей ширины пластического слоя. Это указывает на высокую однородность пластической массы, а небольшая величина максимума – на значительную ее газопроницаемость из-за малой вязкости. У коксового угля высокий максимум газового давления сочетается с длительным его существованием. Угли марок Г и ОС характеризуются низким внутрипластическим давлением и кратковременным существованием его максимума.

Снижение газового давления в пластическом слое углей марок Г и Ж начинается непосредственно перед слоем первичного полукокса, в тонком слое (1 мм) загустевающей пластической массы, которая при прокалывании пластического слоя пластометром ощущается как более вязкая масса. О наличии «вязкой прослойки», граничащей с первичным полукоксом, указывал еще Л.М. Сапожников [8]. У углей марок К и ОС эта прослойка достигает 2 мм, однако спад максимума газового давления начинается только в слое первичного

полукокса, на расстоянии 2-4 мм от свежеобразованной его кромки.

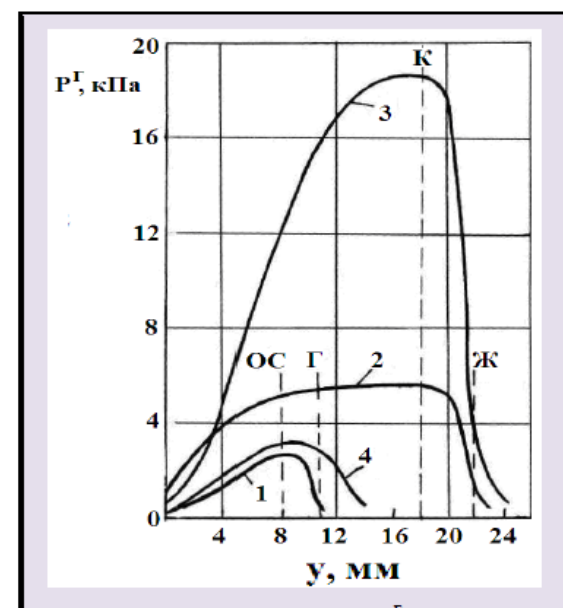


Рис.1 Газовое давление  $P^r$  в пластическом слое углей марок: Г(1), Ж(2), К(3) и ОС(4);  
— кромка первичного полукокса

На основании температурных замеров можно сказать, что спад газового давления в пластическом слое углей марок Г и Ж начинается на 10-15 °C ниже температуры

отверждения пластической массы, а углей марок К и ОС – выше на 15-20 °С. Результаты проведенных замеров показывают, что ни вязкая прослойка пластического слоя, ни слой первичного полукукса марок Г и Ж не являются значительным препятствием для прохождения газов из пластического слоя. Величина газового давления в пластическом слое этих углей определяется только свойствами пластической массы (вязкость, однородность). В отличие от этих углей вязкая прослойка пластического слоя и слой первичного полукукса шириной 2-4 мм углей марок К и ОС являются дополнительным барьером для прохождения газов из пластического слоя, однако дальнейшего роста газового давления здесь не наблюдается. Это значит, что суммарное количество газа, выделяющегося на этом участке и поступающего из пластического слоя, равно эвакуируемому из него. В дальнейших, более нагретых слоях полукукса газовое давление быстро падает. Это указывает на то, что эти слои хорошо газопроницаемы. Принято считать, что появление газопроницаемости связано с развитием трещиноватости в полукуксе.

Пластометрические и температурные замеры позволили идентифицировать слои,

принадлежащие к различным фазам процесса коксования при резком его замораживании (реторту с коксуюмой загрузкой помешали в снежно-ледянную смесь). Путем препарирования быстро охлажденной коксуюмой загрузки жирного угля были выделены слои различной толщины, принадлежащие вспененной зоне пластического слоя, первичному полукуксу, полукуксу и коксу, и определены их физические свойства. При осторожном сокабливании слоя исходных, а затем и слабо набухших слабо сращенных угольных зерен была вскрыта наружная поверхность «холодной» стороны пластического слоя. Эта поверхность представляет собой плотную корку, из которой частично выступают наружу закоксованные в пластической массе относительно крупные (>2 мм) угольные зерна, еще не перешедшие в пластическое состояние. Видимая пористость в этом слое отсутствует. Толщина этого слоя неравномерна по площади и колеблется от 2 до 3 мм. Именно через этот малогазопроницаемый слой засыпь угля воспринимает давление (расширение) пластического слоя на «холодной» стороне.

Физические характеристики препарированных слоев коксуюмой загрузки жирного угля представлены в табл. 2.

Таблица 2

**Характеристика твердого остатка жирного угля в различных температурных зонах коксуюмой загрузки**

Показатель	Temperaturnyj diapazon, °C/mm tolshiny sloya			
	Vspenennaya zona plasticheskogo sloya, <u>370°-450 °C</u> 10 mm	Perвичnyj polukoks <u>460-480 °C</u> 3 mm	Polukoks <u>500-600 °C</u> 14 mm	Koks <u>800-900 °C</u> 12 mm
Кажущаяся плотность, г/см <sup>3</sup>	0,636	0,748	0,767	0,892
Действительная плотность, г/см <sup>3</sup>	1,402	1,456	1,470	1,680
Пористость, %	54,5	48,6	47,8	46,9
Структурная прочность, %	18	54	62	78

Данные таблицы показывают, что при переходе от вспененной зоны пластического

слоя к слою первичного полукукса резко увеличивается кажущаяся плотность и

структурная прочность, а пористость резко уменьшается. При переходе к полуоксусу и далее к коксу эти изменения происходят более плавно. Скачкообразное снижение пористости и повышение структурной прочности при переходе от газонасыщенной пенной зоны к слою первичного полуокса подтверждают протекание процесса массопереноса во вспененной зоне. Увеличение действительной плотности указывает на интенсификацию в конце пластического состояния (в вязкой прослойке или несколько ранее) поликонденсационных процессов. При этом относительно мелкие фрагменты макромолекул соединяются в более крупные агрегаты, что приводит к убыткам жидкой фазы и к повышению вязкости пластической массы. Полное ее затвердевание, т.е. образование первичного полуокса, происходит тогда, когда крупные агрегаты срашиваются в макромолекулы, а последние срашиваются между собой. При этом в результате воздействия температуры происходит упорядочение расположения в макромолекулах графитоподобных блоков, что и приводит к повышению действительной плотности материала (см. табл. 2). Следовательно, непосредственно процесс спекания угля происходит в вязкой прослойке пластического слоя и в тонком слое первичного полуокса, граничащем с этой прослойкой. В остальном же пластическом слое происходит термохимическая подготовка угля к спеканию. Снижение газового давления уже в вязкой прослойке пластического слоя углей Г и Ж объясняется быстрым переходом от пластического состояния к первичному полуоксу, способствующем развитию

трещинообразования, и, по-видимому, образованию большого количества открытых пор в первичном полуоксе. При коксовании углей марок К и ОС эти процессы протекают медленнее и поэтому спад газового давления наблюдается в более высоких температурных зонах.

Исследование динамики развития давления распиранья, проводившиеся в полупромышленных печах, показывают, что максимум этого давления достигается в основном между вторым и четвертым часами коксования [2, 9-11]. Известно, что главной причиной развития давления распиранья является давление в пластическом слое парогазообразных продуктов термического разложения углей. При этом одними исследователями установлено, что внутрипластическое газовое давление  $P^r$  в 1,5-2,0 раза больше давления распиранья  $P_{расп}$  [11, 12], тогда как другими получены результаты, согласно которым внутрипластическое газовое давление или существенно меньше давления распиранья [13] или равно ему [14]. Вопрос, почему разными авторами получены различные соотношения  $P^r/P_{расп}$  требует изучения, тем не менее, замеры газового давления в пластическом слое при различном его удалении от греющей стенки камеры коксования позволили бы объяснить, почему максимум давления распиранья углей достигается в первые часы коксования.

Для изучения динамики изменения максимума газового давления в пластическом слое по мере удаления его от греющей стенки были проведены соответствующие замеры, результаты которых представлены в табл. 3 и на рис. 2.

Таблица 3

**Максимальное газовое давление в пластическом слое и ширина последнего на различном удалении от греющей стенки**

Марка угля	Максимальное газовое давление, кПа/мм ширины пластического слоя, при ширине слоя полуокса-кокса, мм			
	10	30	45	60
Г	1,5/5	2,2/9	2,5/11	2,6/11
Ж	2,3/14	3,2/19	3,4/22	3,3/22
К	4,0/8	15,2/16	18,1/18	18,3/18
ОС	0,7/4	2,0/6	2,8/8	2,8/8

Полученные данные показывают, что чем дальше удален пластический слой от греющей стенки печи, тем больше развиваемое в нем газовое давление, однако до определенного предела. При ширине слоя полукокса-кокса 35-40 мм максимальное газовое давление достигает своих наибольших значений, и далее остается на этом уровне. Это характерно для всех исследованных марок углей. Низкие значения газового давления в пластическом слое, находящемся вблизи греющей стенки печи, объясняются тем, что этот слой еще тонок, а пластическая масса весьма текучая. Это обусловлено высокой скоростью нагрева в упомянутом слое [2].

В дальнейшем скорость коксования замедляется, ширина пластического слоя увеличивается, повышается вязкость пластической массы и ее однородность, что способствует повышению газового давления в слое, а, следовательно, и давления распириания. Кроме того, с нарастанием ширины слоя полукокса-кокса влияние трещиноватости, способствующей эвакуации парогазовых продуктов из пластического слоя, уменьшается, так как все больше и больше трещин заканчиваются в массиве полукокса или кокса, на все большем удалении от «горячей» стороны пластического слоя. Все это приводит к повышению максимума газового давления в пластическом слое, причем синхронно с увеличением его ширины. При достижении максимальной, остающейся в дальнейшем стабильной, ширины пластического слоя максимальное газовое давление также остается стабильным.

Ширина слоя полукокса-кокса 35-40 мм, при которой развивается максимальное внутрипластическое давление, в промышленных печах достигается между 2 и 3 ч периода коксования [15, 16]. Как указывалось выше, в это же время наблюдается максимум давления распириания. Динамика давления распириания разных углей после достижения максимального значения разная, хотя общим для всех углей является более или менее быстрое снижение давления распириания [2, 9-11]. Это связано с различием процессов усадки и трещинообразования их твердых остатков.

#### Выводы

1. Наличие вспененной зоны пластического слоя не является обязательным для развития большого газового давления в пластическом слое, а, следовательно, и давления распириания углей.

2. Снижение кажущейся плотности во вспененной зоне пластического слоя обусловлено не только интенсивным газовыделением, но и массопереносом нелетучей массы к слою первичного полукокса, что приводит к

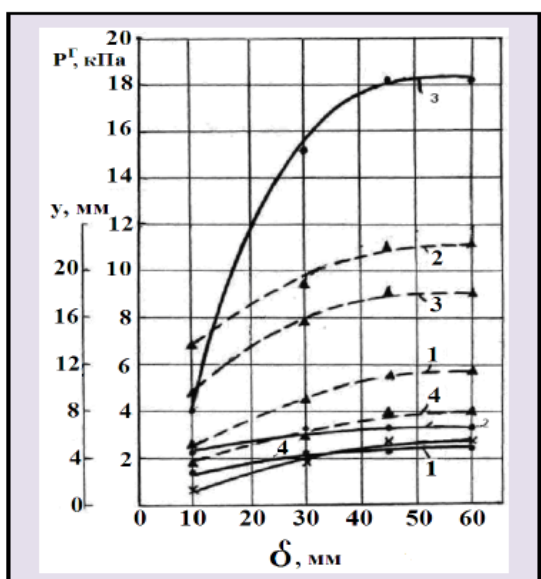


Рис. 2 Внутрипластическое газовое давление  $P^r$  и ширина пластического слоя у углей марок Г(1), Ж(2), К(3) и ОС(4) при различной ширине слоя полукокса-кокса  $\delta$   
— газовое давление;  
--- ширина пластического слоя

Кроме того, в тонкой корке кокса в это время происходит интенсивное трещинообразование, определяются формирующие трещины, ограничивающие начинающие расти выпуклости т. наз. «цветной капусты».

образованию относительно более плотной структуры твердого остатка.

3. Барьером для прохода газов коксования на «холодную» сторону является слой толщиной 2-3 мм размягченных, набухших, вдавленных друг в друга мелких угольных зерен, включающий в себя крупные ( $> 2$  мм) зерна, частично выступающие с наружной стороны слоя. Выступающая их часть представляет собой исходные, не размягченные угольные зерна.

4. Барьер для выхода парогазовых продуктов с «горячей» стороны пластического слоя углей марок Г и Ж отсутствует, величина газового давления в пластическом слое этих углей обусловлена только газопроницаемостью самой пластической массы.

5. Некоторым барьером для эвакуации летучих продуктов с «горячей» стороны пластического слоя углей марок К и ОС является тонкая вязкая прослойка (шириной до 2 мм) на границе с первичным полукоксом и тонкий слой первичного полукокса.

6. Максимум газового давления в пластическом слое увеличивается по мере его удаления от греющей стенки печи синхронно с увеличением его ширины. Наибольших значений максимум газового давления в пластическом слое углей достигает при ширине слоя полукокса-кокса 35-40 мм. В дальнейшем ширина пластического слоя и максимальное газовое давление в нем остаются стабильными. Динамика нарастания максимума давления расширения сходна для всех исследованных углей и соответствует динамике газового давления в пластическом слое. Характер снижения давления расширения различных углей после достижения его максимума различный.

#### Библиографический список

1. Дроздник И.Д., Дюканов А.Г., Бессчастный Ю.В., и др. Некоторые аспекты подготовки углей для коксования // Углехимический журнал. – 2007. – № 3-4. – С. 13-20.
2. Кузниченко В.М., Сытник А.В. Процесс развития максимального давления расширения при коксации углей. Сообщение первое. Рентгенографические исследования // Углехимический журнал. – 2009. – № 5-6. – С. 35-41.
3. Васильев Ю.С., Кузниченко В.М. Способ измерения давления расширения коксуюемой угольной загрузки в полупромышленной печи // Кокс и химия. – 1999. – № 6. – С. 16-21.
4. Кузниченко В.М., Лобов А.А., Кривонос В.В. Особенности процесса коксования трамбованных угольных шихт // Кокс и химия. – 1998. – № 6. – С. 9-16.
5. Васильев Ю.С. Развитие теории и практики процессов коксования и обогрева коксовых печей для повышения эффективности производства металлургического кокса / Автореф. дис. докт. тех. наук. – М. – 1991. – 40 с.
6. Склар М.Г., Васильев Ю.С., Вальтерс Н.А. и др. Исследование процесса формирования монолита кокса // Кокс и химия. – 1986. – № 6. – С. 13-17.
7. Кузниченко В.М., Щульга И.В., Сытник А.В. Лабораторный способ определения давления расширения коксуюемой угольной загрузки различной насытной плотности // Углехимический журнал. – 2007. – № 3-4. – С. 29-33.
8. Сапожников Л.М. Забуряемость коксового тирога при выдаче // Кокс и химия. – 1932. – № 5-6. – С. 41-52.
9. Бабанин Б.И., Шейн С.Ш., Стажеев С.Г. и др. Влияние термической подготовки шихты на давление расширения // Кокс и химия. – 1988. – № 8. – С. 24-26.
10. Сухоруков В.И., Стажеев С.Г. и Шведов В.И. О механизме возникновения и развития давления расширения // Кокс и химия. – 1997. – № 10. – С. 9-12.
11. Луазон Р., Фош П., Буайе А. Кокс. Пер. с франц. – М.: Металлургия. – 1975. – 520 с.
12. Кушниревич Н.Р. Изменение величины давления расширения при коксации в генетическом ряду донецких углей // Труды УХИН. М.: Металлургиздат. – 1948. – Вып. 1. – С. 43-58.
13. Браун Н.В. Полупромышленные коксования шихт, уплотненных трамбованием // Кокс и химия. – 1987. – № 8. – С. 12-18.

14. Карч А. Давление вспучивания. Часть 1. Методы измерения давления вспучивания и давления внутри шихты. // Карбо. – 2001. – Т. 46. – № 5. – С. 163-168.
15. Еркин Л.И. Анализ процесса формирования кускового кокса // Кокс и химия. – 1970. – № 9. – С. 13-21.
16. Криконос В.В., Дзекунов С.Н., Кузниченко В.М. и др. Особенности прогрева трамбованного угольного тирога в коксовой печи // Кокс и химия. – 1998. – № 3-4. – С. 15-20.

Рукопись поступила в редакцию 11.11.2009